

Application avancée

Autor: Cristopher McIntyre Garcia

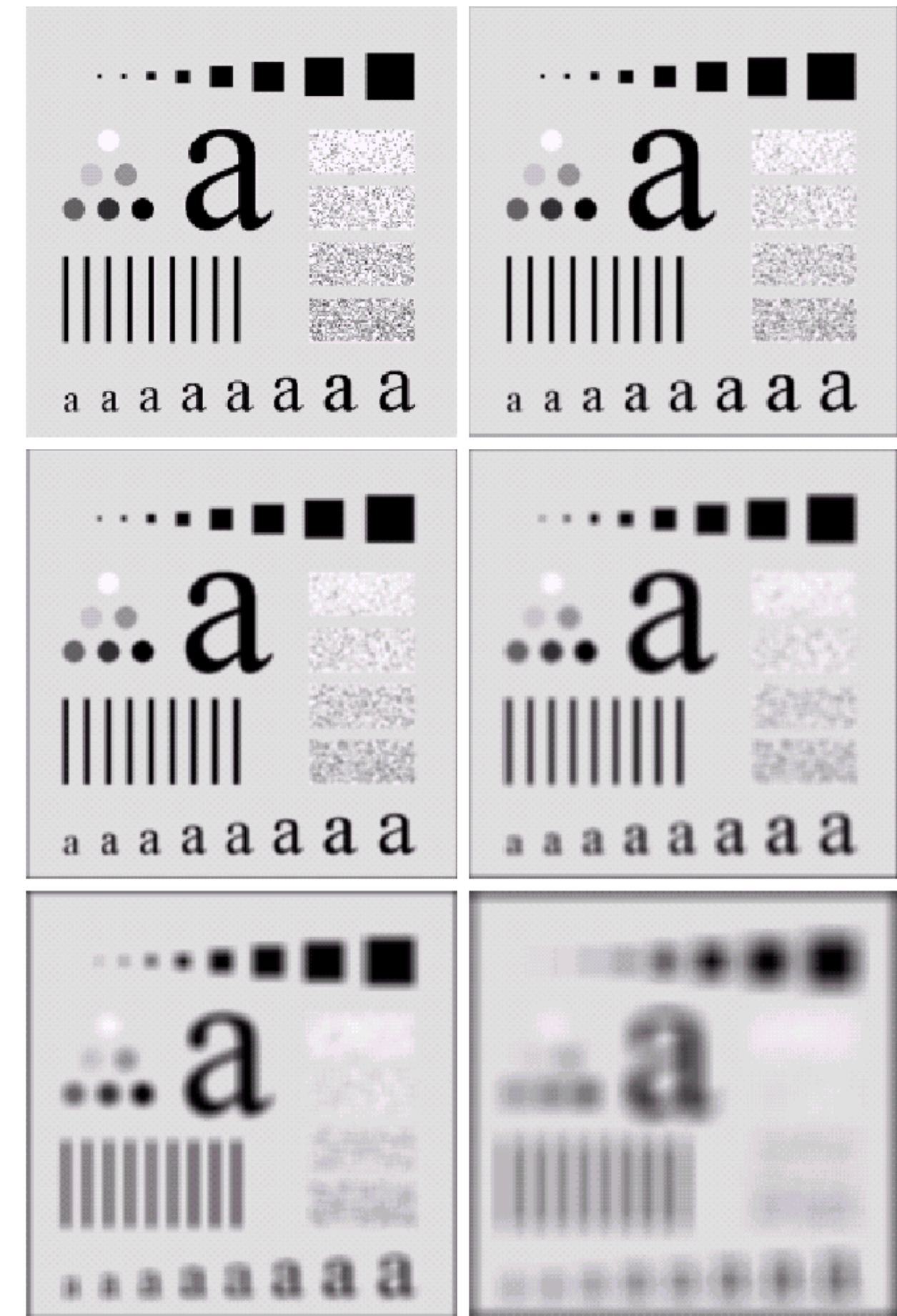
Mini-Cours

- ~~Jour 1: Introduction à l'image digital~~
- ~~Jour 2: Techniques de base de la vision artificiel et au traitement d'image~~
- Jour 3: Filtre et technique traditionnel avancé
- Jour 4: Introduction a l'intelligence artificiel (ML et DL)
- Jour 5: Technique modern - Conversation de nos courent

Filtres spatiaux de lissage

- Filtres linéaires
 - Filtre de lissage $n \times n$
 - Filtres de taille $n = 3, 5, 9, 15$ et 35
- Réduction du bruit
 - Corrompues par du brouillage

1/n	1/n	1/n
1/n	1/n	1/n
1/n	1/n	1/n



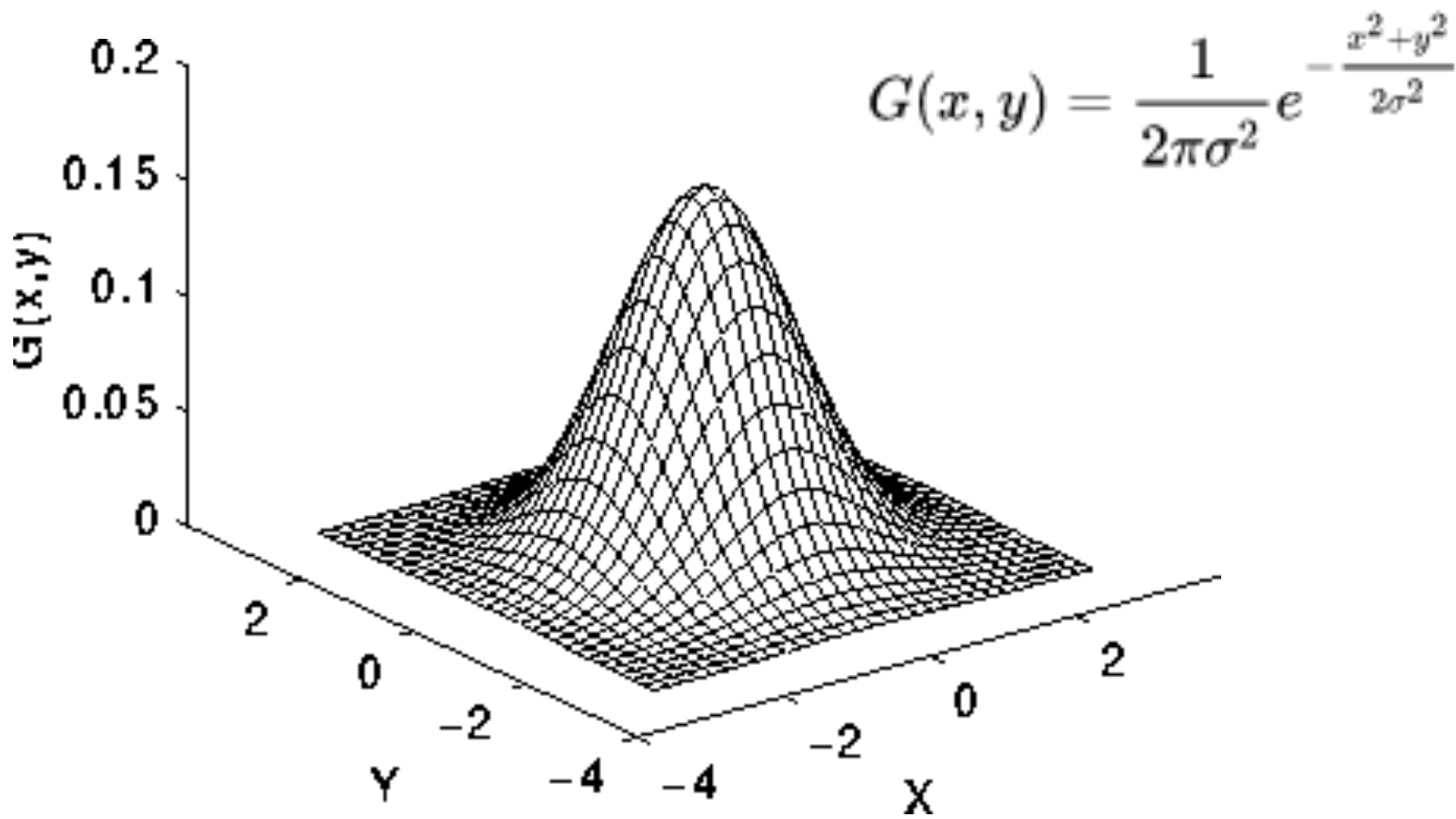
Filtres spatiaux de lissage

- Filtre Gaussien
 - Flou gaussien 3x3
 - Flou gaussien 5x5

1/16	2/16	1/16
2/16	4/16	2/16
1/16	2/16	1/16

1/256

1	4	6	4	1
4	16	24	16	4
6	24	36	24	6
4	16	24	16	4
1	4	6	4	1



Filtres non linéaires

- Filtres de statistiques d'ordre
 - Pixel central est remplacé par le résultat du classement
- Filtre médian vs moyen
- Efficace en présence de bruits impulsionnels



Filtre médian 5x5 Filtre moyen 5x5

Filtres spatiaux pour l'affinage

- Mettre en évidence les détails d'une image
- Différenciation numérique
 - Dérivés de premier ordre
 - Dérivées du second ordre
- Améliore les bords et autres discontinuités

	Premier ordre	Deuxième ordre
Rampe	Nonzero => Thick edges	Non nul à la frontière => Bords plus fins
Bruit isolé	Plus faible	Plus fort => accentue les détails fins (y compris le bruit) bruit) plus fort
Lignes fines		Passage d'une situation positive à une situation négatif => Une fine ligne double

Dérivées secondes - le Laplacien

$$\nabla^2 f(x, y) = \frac{\partial^2 f}{\partial x^2} + \frac{\partial^2 f}{\partial y^2}$$

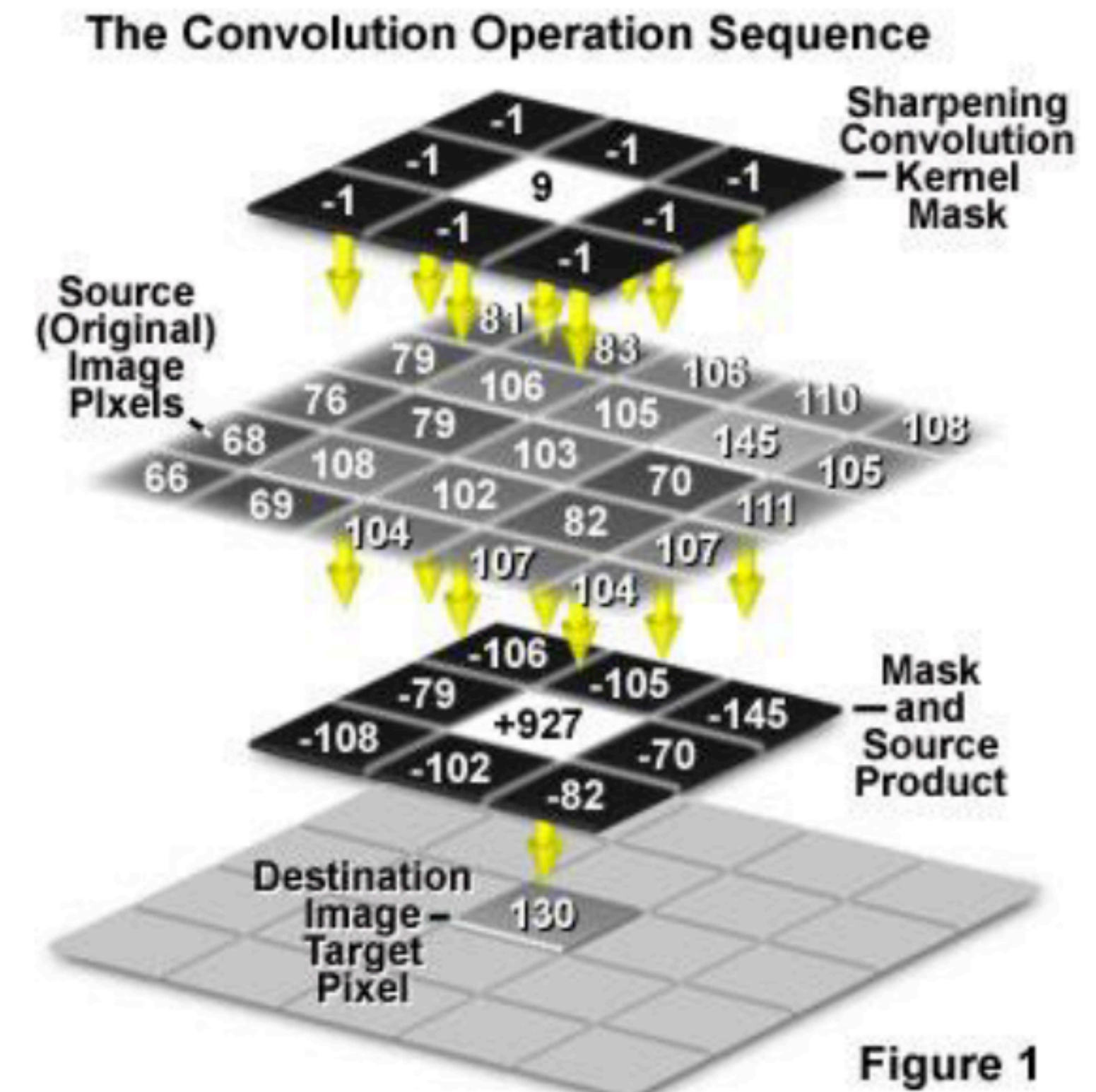
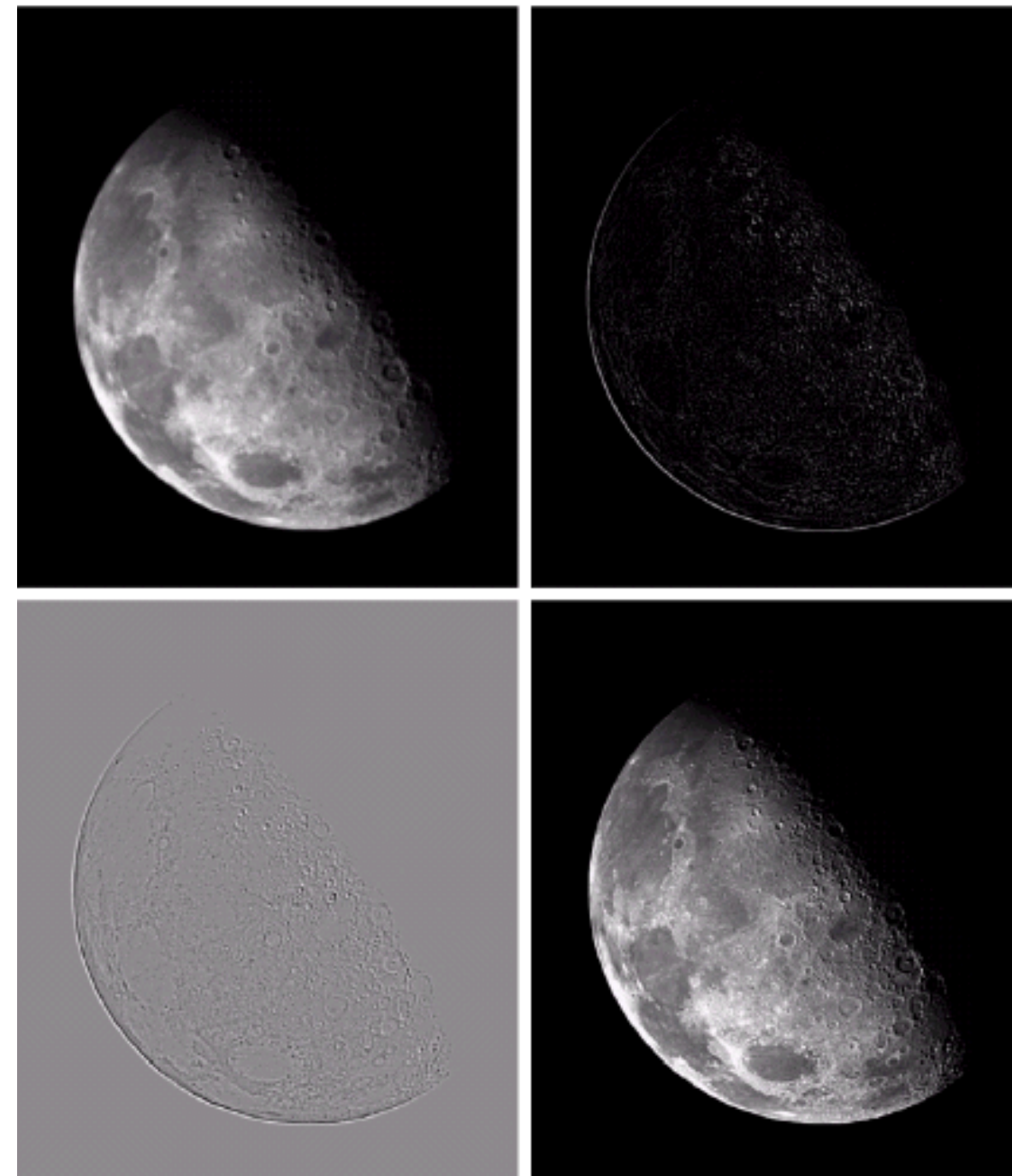
$$\nabla^2 f(x, y) = [f(x+1, y) + f(x-1, y) + f(x, y+1) + f(x, y-1)] - 4f(x, y)$$

- Filtres isotropes
- Indépendante de la direction des discontinuités
- Invariant par rapport à la rotation
- Plusieurs implantations:

0	-1	0
-1	4	-1
0	-1	0

0	1	0	1	1	1
1	-4	1	1	-8	1
0	1	0	1	1	1
0	-1	0	-1	-1	-1
-1	4	-1	-1	8	-1
0	-1	0	-1	-1	-1

Les contours renforcés

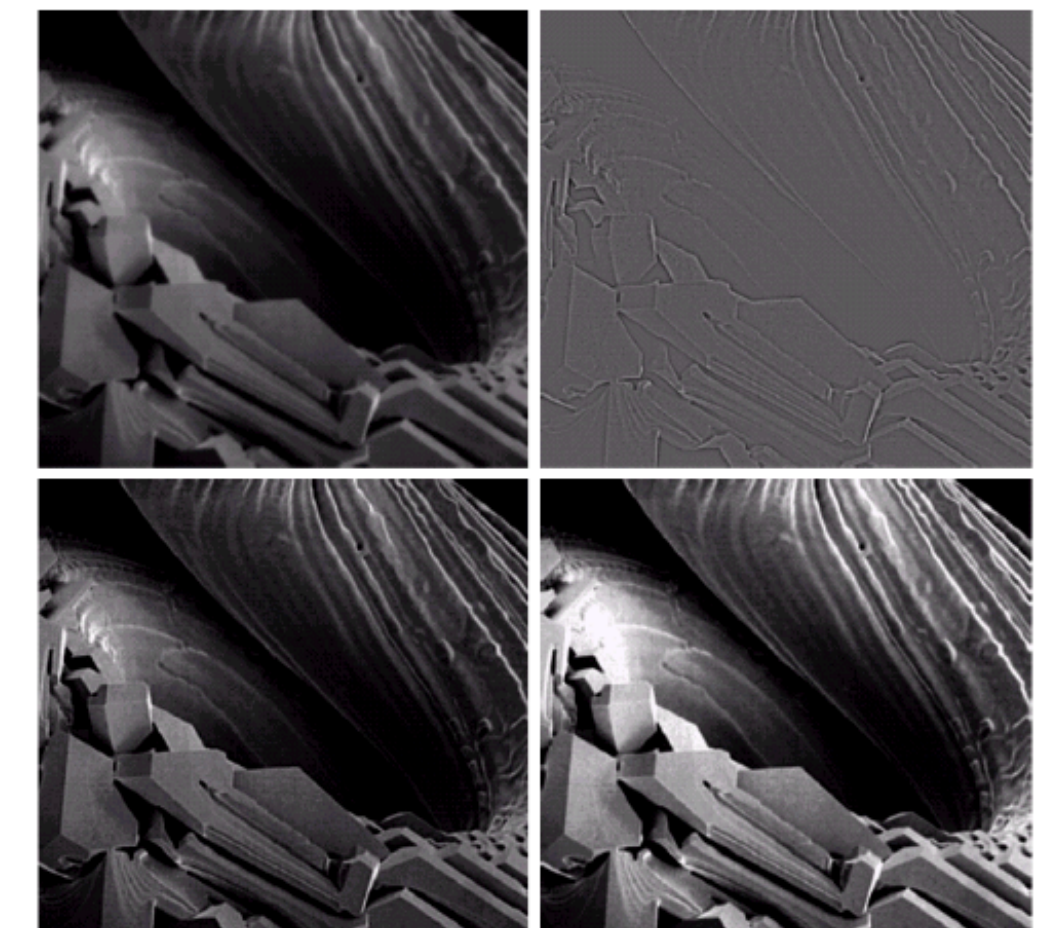


Filtrage High-Boost

$$f_{hb}(x, y) = Af(x, y) - \nabla^2 f(x, y)$$

- $A=1$ Accentuation Laplacienne standard
- A devient plus grand
 - Filtrage devient de moins en moins
- Si A est suffisamment grand, l'image sera approximativement égale à l'originale multipliée par une constante

0	-1	0	-1	-1	-1
-1	$A + 4$	-1	-1	$A + 8$	-1
0	-1	0	-1	-1	-1



Dérivées premières - le gradient

- Le gradient de f est un vecteur
 - Direction de la projection de la normale sur le plan tangent
 - Utilisée pour obtenir la dérivée directionnelle (magnitude)
- Gradient élevées en cas de changement rapide de la luminosité
 - Transition entre une zone sombre et une zone claire

Opérateurs de bord de gradient

- Robert Cross

+1	0	0	+1
0	-1	-1	0

Gx

Gy

- Répondent au maximum aux bords orientés à 45°

- Prewitt

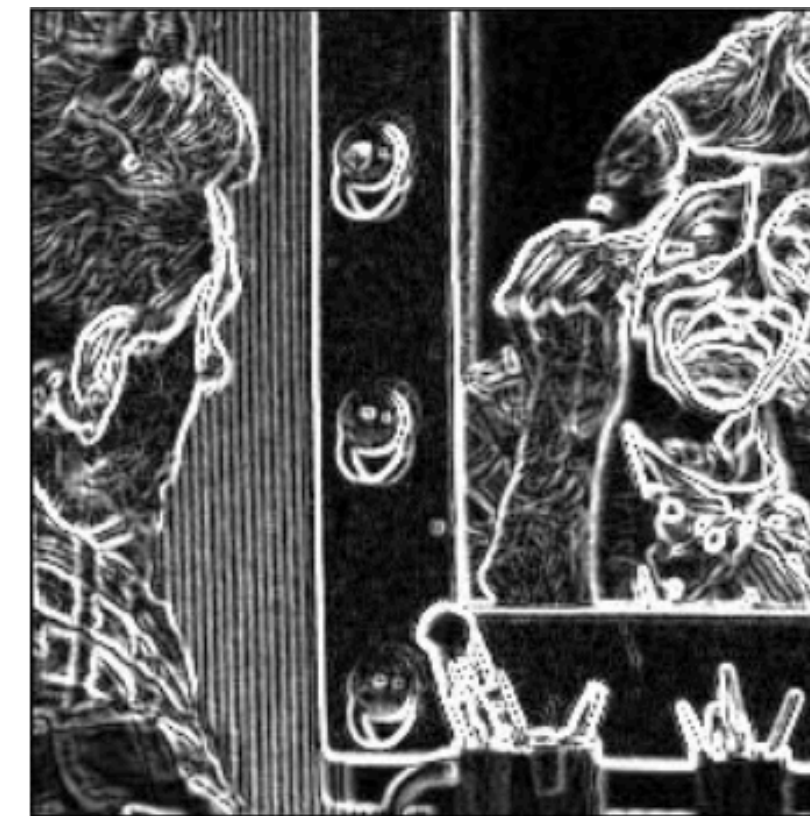
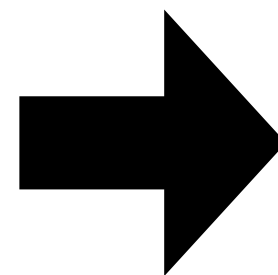
$$\begin{bmatrix} -1 & 0 & 1 \\ -1 & 0 & 1 \\ -1 & 0 & 1 \end{bmatrix} \quad \begin{bmatrix} -1 & -1 & -1 \\ 0 & 0 & 0 \\ 1 & 1 & 1 \end{bmatrix}$$

- Sobel

$$\begin{bmatrix} -1 & 0 & 1 \\ -2 & 0 & 2 \\ -1 & 0 & 1 \end{bmatrix} \quad \begin{bmatrix} -1 & -2 & -1 \\ 0 & 0 & 0 \\ 1 & 2 & 1 \end{bmatrix}$$

- Kirch

$$\begin{bmatrix} 3 & 3 & -5 \\ 3 & 0 & -5 \\ 3 & 3 & -5 \end{bmatrix} \quad \begin{bmatrix} 3 & -5 & -5 \\ 3 & 0 & -5 \\ 3 & 3 & 3 \end{bmatrix}$$



Détecteur de bords Canny

1. Lissage

- par convolution gaussienne.

2. Opérateur de dérivée première 2-D

- met en évidence les régions de l'image dont les dérivées spatiales premières sont élevées.

3. suppression non maximale (technique d'amincissement des bords)

- Les bords donnent lieu à des crêtes dans l'image de l'amplitude du gradient.
- La suppression non maximale est appliquée pour "amincir" le bord. Après le calcul du gradient, l'arête extraite de la valeur du gradient reste assez floue. La suppression du non-maximum peut aider à supprimer toutes les valeurs de gradient jusqu'à 0, à l'exception du maximum local, qui indique l'endroit où le changement de la valeur d'intensité est le plus net.

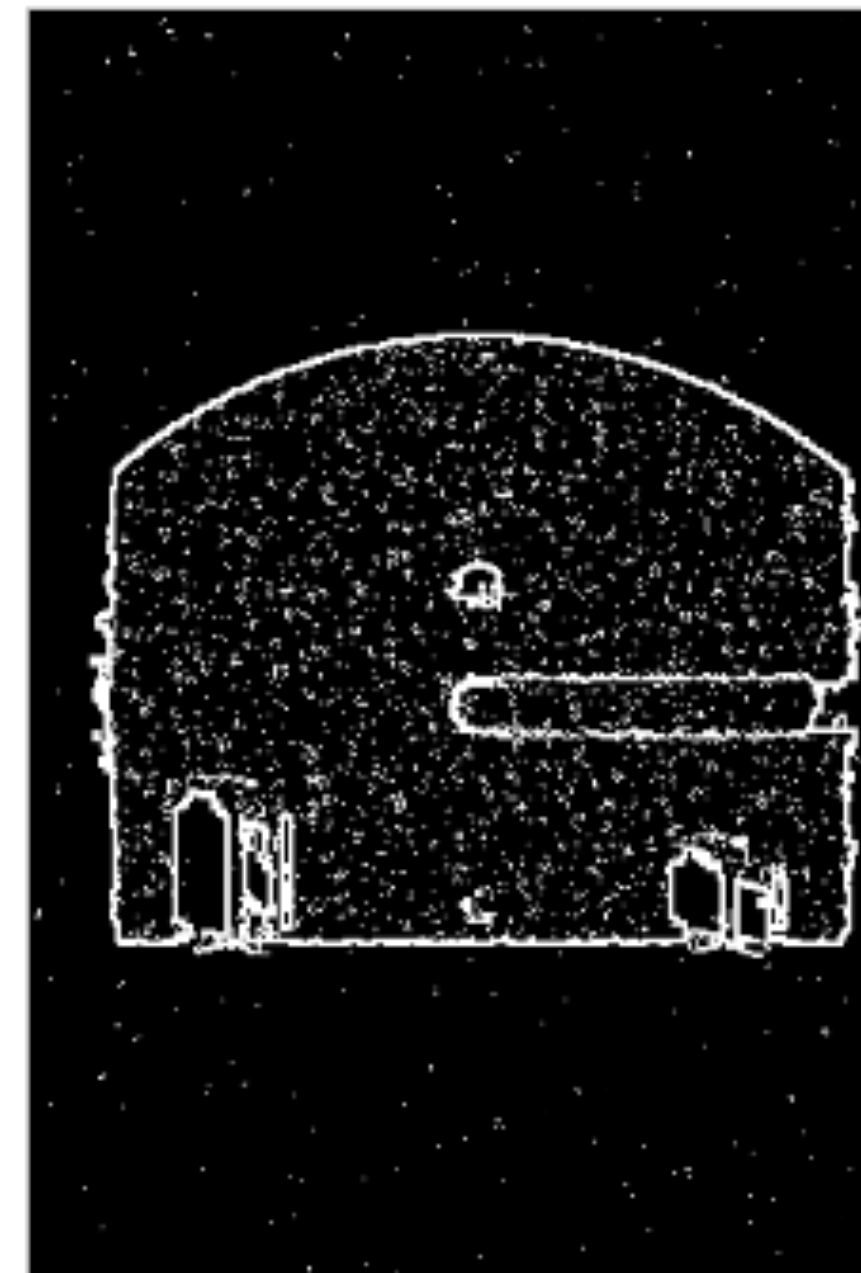
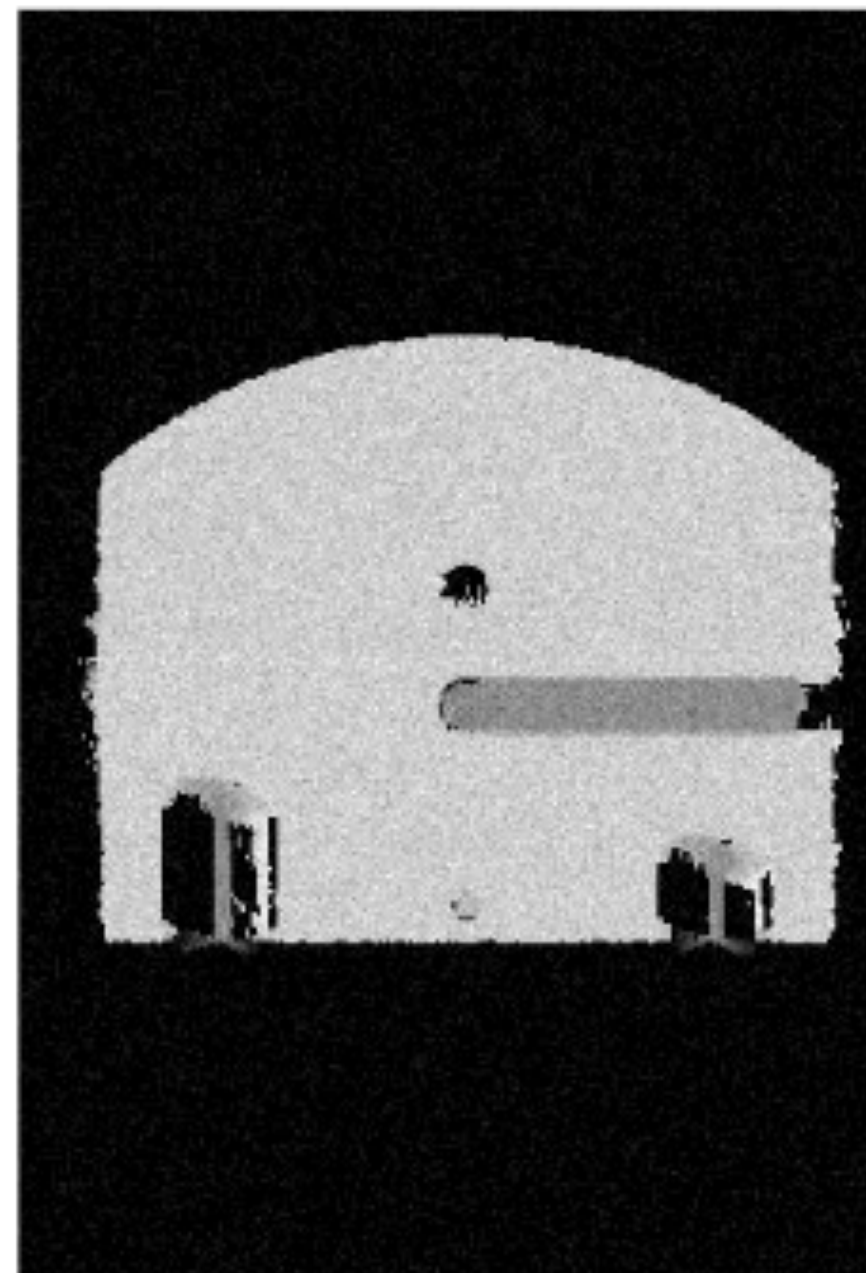
Détecteur de bords Canny

4. Le processus de suivi

- L'algorithme suit ensuite le sommet de ces crêtes et met à zéro tous les pixels qui ne se trouvent pas sur le sommet de la crête, de manière à obtenir une ligne fine dans la sortie.
- contrôlée par deux seuils : T_{high} et T_{low} avec $T_{high} > T_{low}$
- Le suivi ne peut commencer qu'à un point de la crête supérieur à T_{high} . Le suivi se poursuit ensuite dans les deux directions à partir de ce point jusqu'à ce que la hauteur de la crête tombe en dessous de T_{low} .
- Cette hystérésis permet de s'assurer que les arêtes bruyantes ne sont pas divisées en plusieurs fragments d'arêtes.

Détecteur de bords Canny

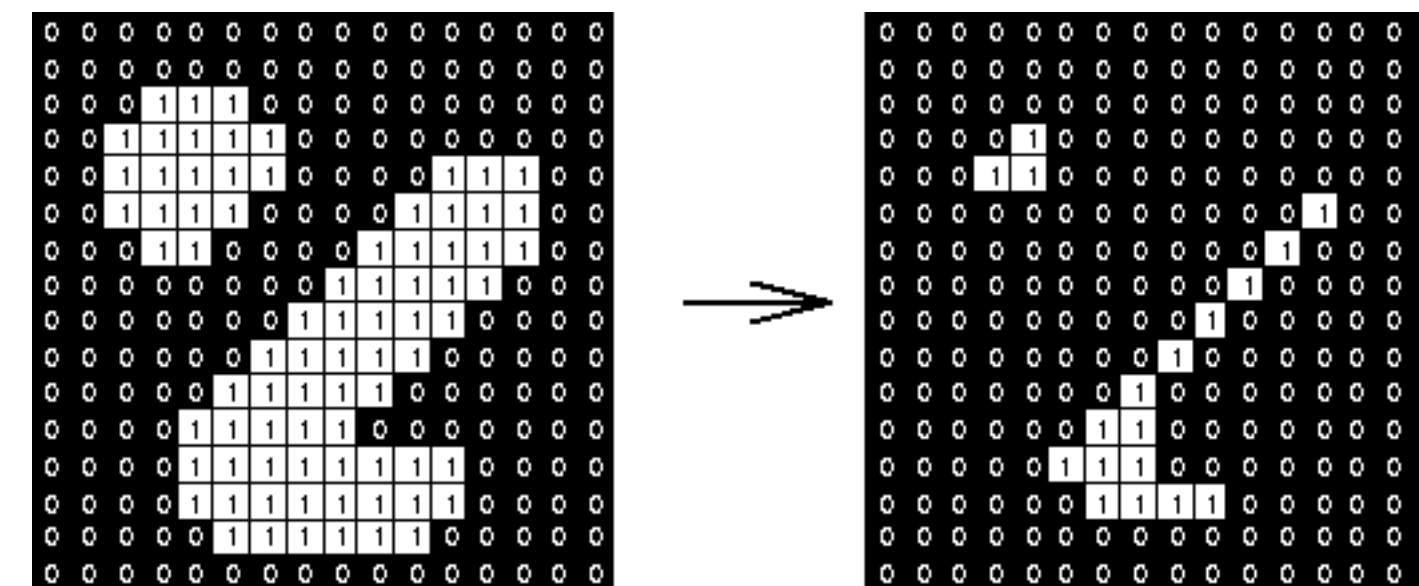
Original vs. Canny vs. Sobel



Morphologie mathématique

- Extraire les composants d'image utiles à la représentation d'une région

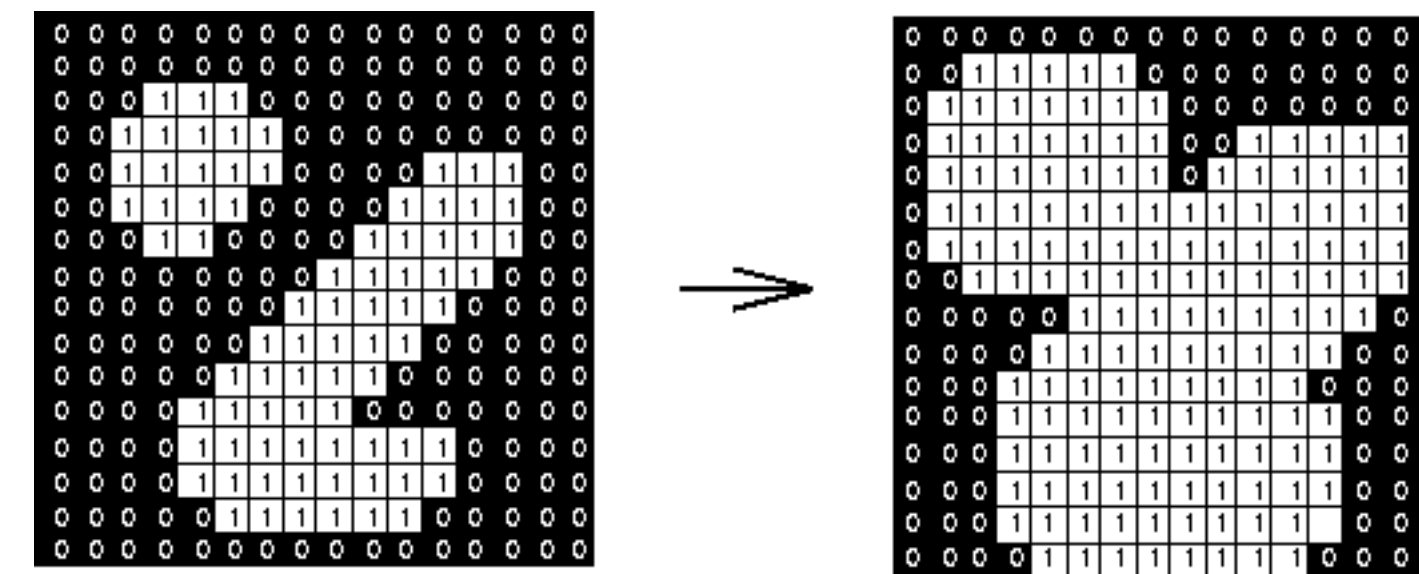
- Érosion



- Réduit le masque

- Si l'un des voisins a une valeur de zéro, le pixel en question est mis à zéro.

- Dilatation

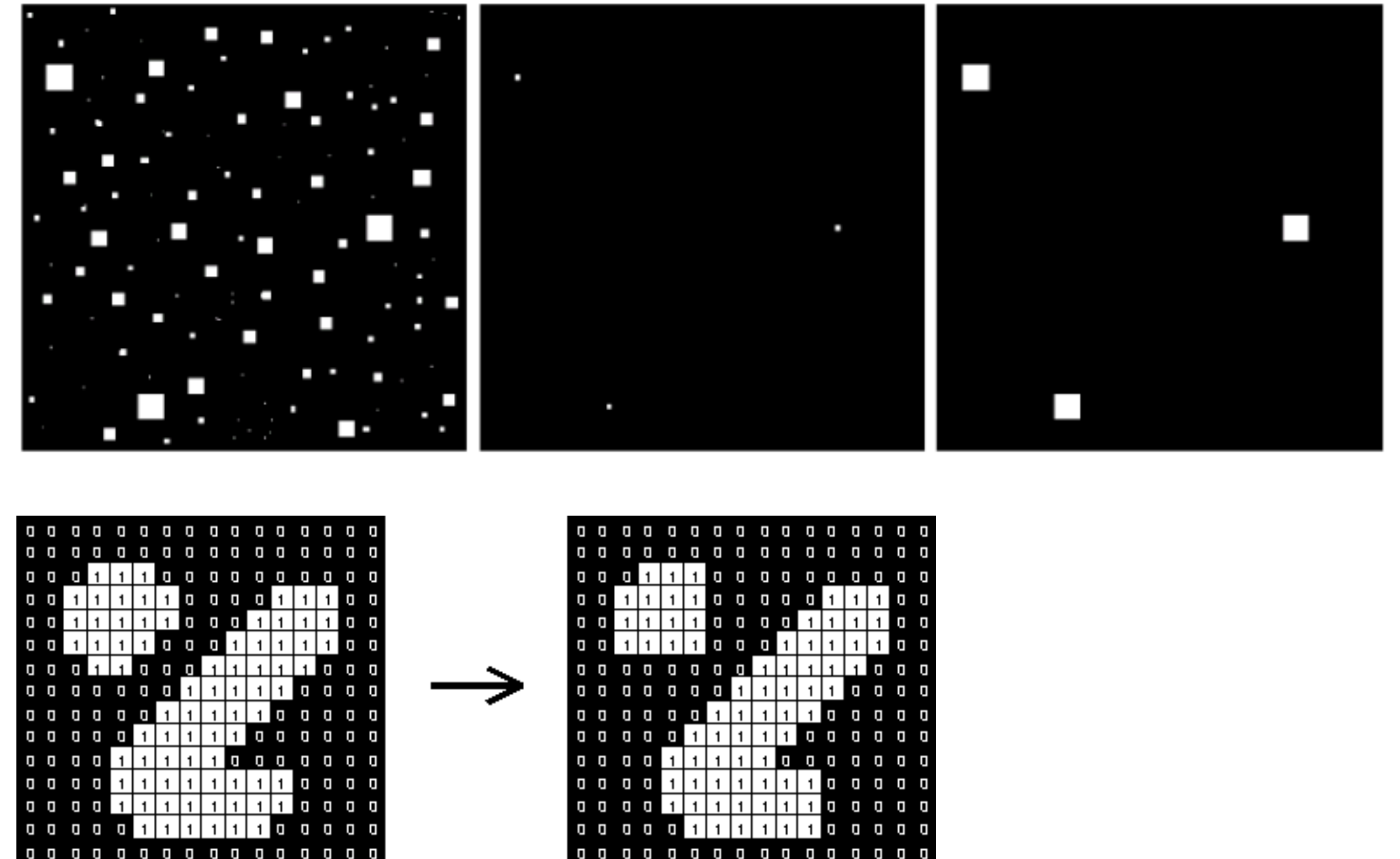


- Fait grandir le masque

- Si un pixel voisin a la valeur 1, le pixel en question est mis à 1

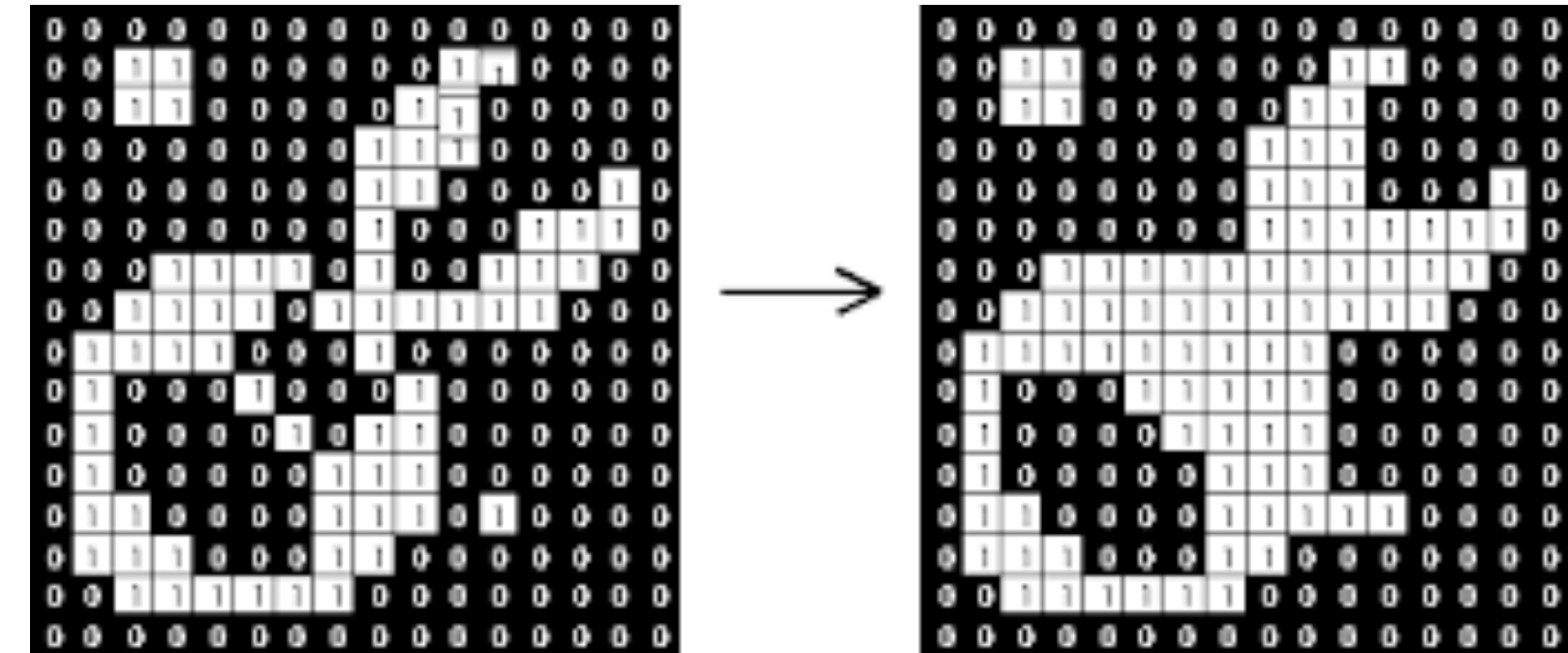
Érosion et dilatation

- Ouverture
- L'érosion suivie de la dilatation
- Lisse les contours d'un objet



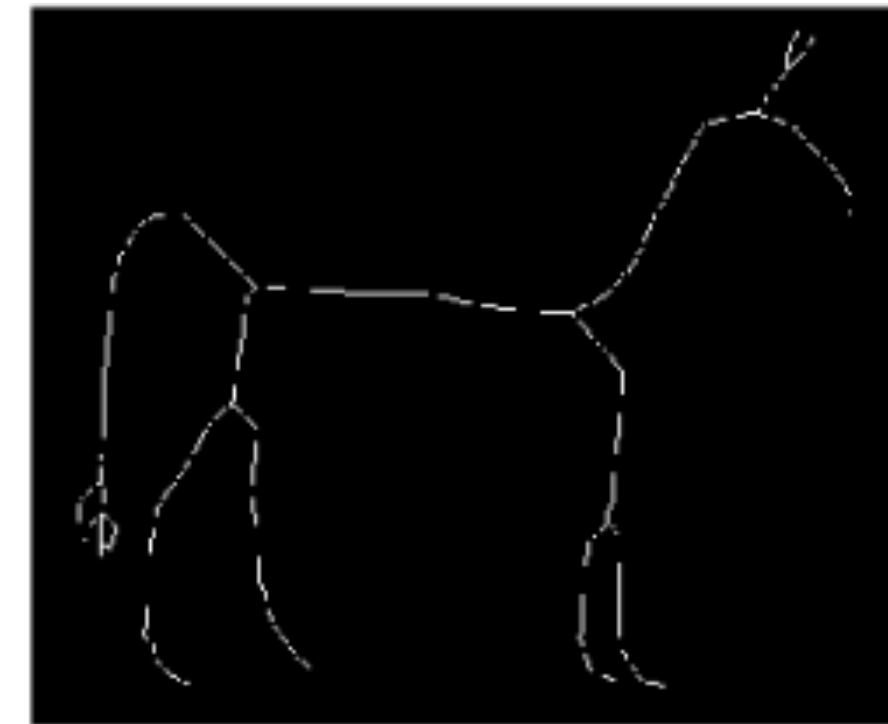
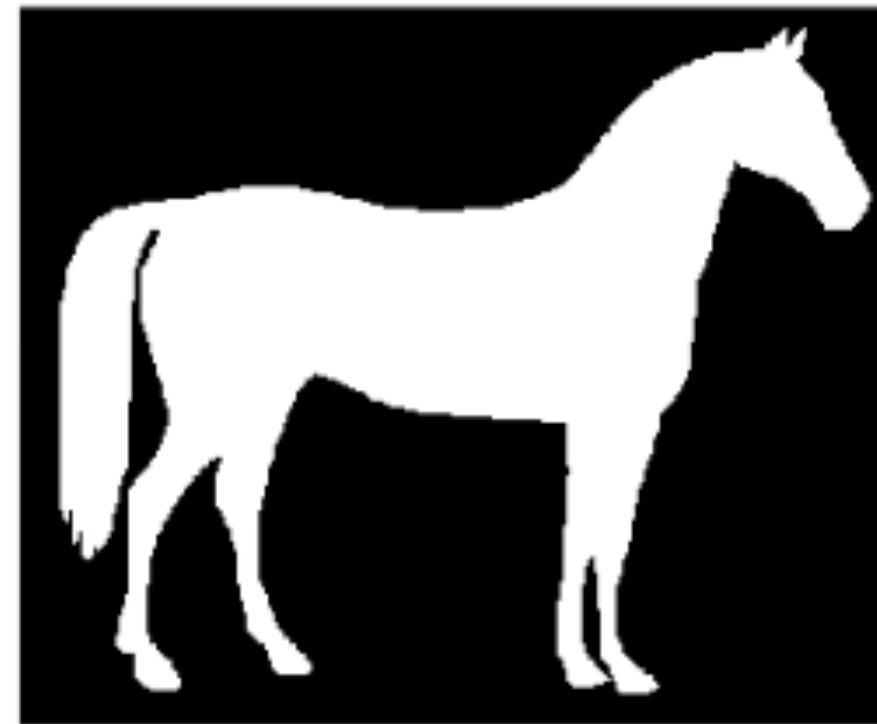
Érosion et dilatation

- Fermeture
- La dilatation suivie de l'érosion
- Lisser les sections de contours
- Fusionne généralement les ruptures étroites
- Élimine les petits trous



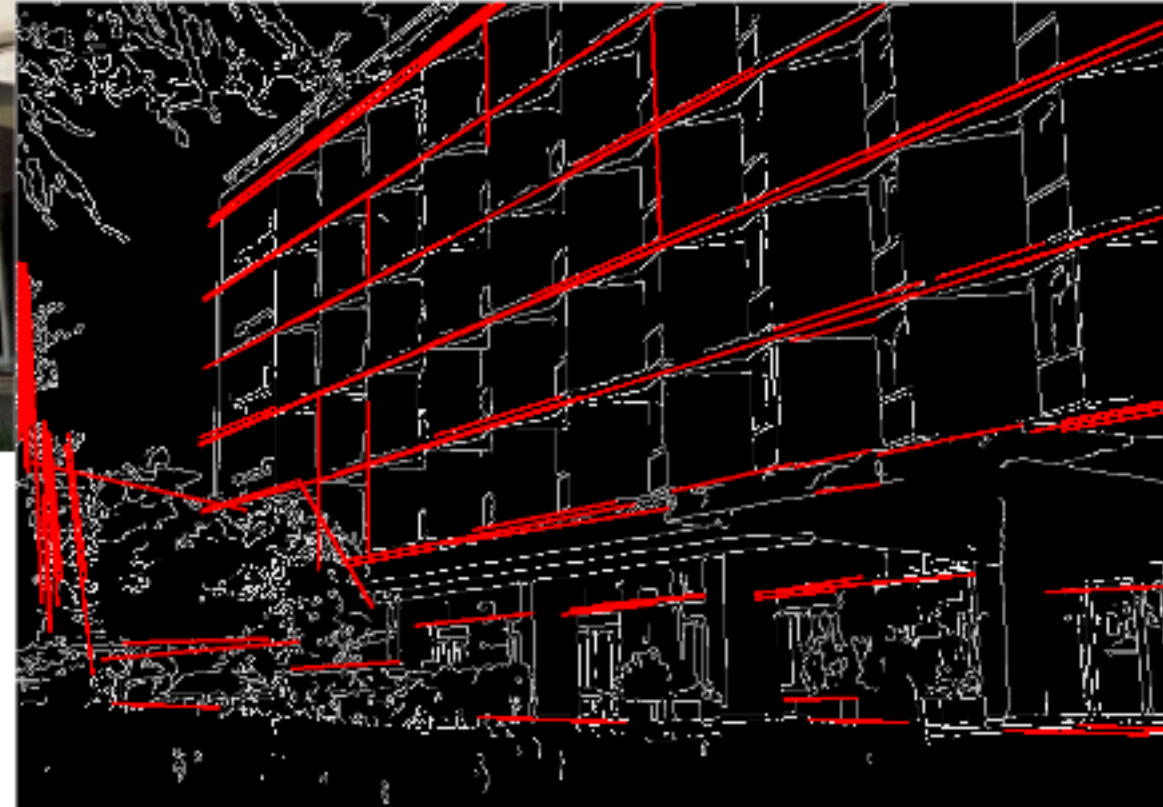
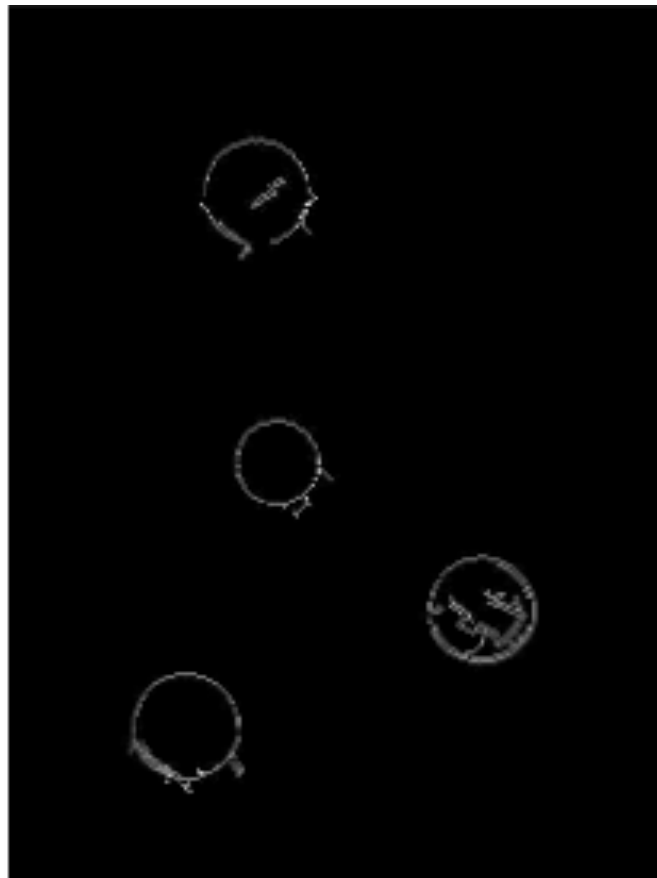
Squelette

- Représenter la forme structurelle d'une région plane dans un graphique
- Exprimée en termes d'érosions et d'ouverture



Détection de ligne

- Transformée de Hough



Python + OpenCV



- GitHub
 - <https://github.com/cmccin019/mini-cours>
- Google Colab

Filtres linéaires

```
gaussian_blur = cv2.GaussianBlur(input_image, (5, 5), 0) # (5, 5) is the kernel size, 0 is sigma  
plt.imshow(cv2.cvtColor(gaussian_blur, cv2.COLOR_BGR2RGB))
```

```
# Apply Sobel Filter  
sobelx = cv2.Sobel(input_image, cv2.CV_64F, 1, 0, ksize=5) # Sobel X  
plt.imshow(cv2.cvtColor(np.uint8(np.absolute(sobelx)), cv2.COLOR_BGR2RGB))  
  
sobely = cv2.Sobel(input_image, cv2.CV_64F, 0, 1, ksize=5) # Sobel Y  
plt.imshow(cv2.cvtColor(np.uint8(np.absolute(sobely)), cv2.COLOR_BGR2RGB))
```

Filtres non linéaires

```
mean_blur = cv2.blur(input_image, (5, 5)) # The (5, 5) is the kernel size specifying a 5x5 window  
plt.imshow(cv2.cvtColor(mean_blur, cv2.COLOR_BGR2RGB))
```

```
median_blur = cv2.medianBlur(input_image, 5) # 5 is the kernel size  
plt.imshow(cv2.cvtColor(median_blur, cv2.COLOR_BGR2RGB))
```

Filtre Laplacien

```
# Apply Laplacian filter
laplacian = cv2.Laplacian(input_image, cv2.CV_64F) # Use cv2.CV_64F to capture both negative and positive edges

# Convert back to uint8
laplacian = np.uint8(np.absolute(laplacian))

plt.imshow(cv2.cvtColor(laplacian, cv2.COLOR_BGR2RGB))
```

```
gray_image = cv2.imread('noidea.jpg', cv2.IMREAD_GRAYSCALE) # Load as grayscale for simplicity

# Sharpening filter: Create a sharpening kernel
sharpening_kernel = np.array([[ -1, -1, -1],
                              [ -1,  9, -1],
                              [ -1, -1, -1]])

# Apply the sharpening kernel
sharpened_image = cv2.filter2D(gray_image, -1, sharpening_kernel)

# Apply Laplacian filter
laplacian = cv2.Laplacian(sharpened_image, cv2.CV_64F)
# Convert back to uint8
laplacian = np.uint8(np.absolute(laplacian))

plt.imshow(laplacian)
```

Morphologie Mathématique

```
# Define the kernel size
kernel = np.ones((5,5), np.uint8) # You can change the kernel size as needed

# Apply erosion
erosion = cv2.erode(input_image, kernel, iterations=1) # Increase iterations for more erosion

plt.imshow(cv2.cvtColor(erosion, cv2.COLOR_BGR2RGB))
```

```
# Define the kernel size
kernel = np.ones((5,5), np.uint8) # You can change the kernel size as needed

# Apply dilation
dilation = cv2.dilate(input_image, kernel, iterations=1) # Increase iterations for more dilation

plt.imshow(cv2.cvtColor(dilation, cv2.COLOR_BGR2RGB))
```

Transformation de Hough

```
h_image=cv2.imread('noidea.jpg')

gray = cv2.cvtColor(h_image, cv2.COLOR_BGR2GRAY)

# Apply edge detection (e.g., using the Canny edge detector)
edges = cv2.Canny(gray, 50, 150, apertureSize=3)

# Apply Hough Line Transform
lines = cv2.HoughLines(edges, 1, np.pi/180, 150) # rho accuracy of 1 pixel, theta accuracy of 1 degree, threshold 150

# Draw the lines
for line in lines:
    rho, theta = line[0]
    a = np.cos(theta)
    b = np.sin(theta)
    x0 = a * rho
    y0 = b * rho
    x1 = int(x0 + 1000 * (-b))
    y1 = int(y0 + 1000 * (a))
    x2 = int(x0 - 1000 * (-b))
    y2 = int(y0 - 1000 * (a))

    cv2.line(h_image, (x1, y1), (x2, y2), (0, 0, 255), 2)

plt.imshow(cv2.cvtColor(h_image, cv2.COLOR_BGR2RGB))
```

Fin

- Merci